

В. В. УВАРОВ, Ю. М. АРЫШЕНСКИЙ, И. И. КАЛУЖСКИЙ

**АНАЛИЗ ВЛИЯНИЯ АНИЗОТРОПИИ ЛИСТОВОГО МЕТАЛЛА
НА КОЭФФИЦИЕНТ ВЫТЯЖКИ**

Для изготовления деталей операциями глубокой вытяжки применяются разнообразные листовые материалы, обладающие анизотропией свойств как в плоскости листа, так и в направлении толщины. Анизотропия материала оказывает существенное влияние на технологический процесс глубокой вытяжки, вызывая не только образование фестонов (ушек) на изделии, но и в значительной мере влияет на величину предельного коэффициента вытяжки. Последнее подтверждается рядом экспериментальных работ [5.] [4].

Представляет интерес теоретический анализ влияния анизотропии и на предельный коэффициент вытяжки с учетом реальных условий процесса (упрочнения материала, трения и т. д.).

Степень анизотропии материала для рассматриваемого случая можно охарактеризовать величиной среднего коэффициента поперечной деформации

$$\mu_{\text{ср}} = \frac{\left(\frac{\mu_{\text{ек}}^0 + \mu_{\text{ек}}^{90}}{2} \right) + \mu_{\text{ек}}^{45^\circ} + \mu_{\text{ек}}^{22,5^\circ} + \mu_{\text{ек}}^{67,5^\circ}}{n}$$

где $\mu_{\text{ек}}$ — коэффициент поперечной деформации при линейном растяжении образца под различными углами α к направлению прокатки. Индекс k показывает направление поперечного сжатия по ширине, а e — направление действия силы;

n — количество углов α (не считая 0 и 90°), в направлении которых испытаны образцы.

Обычно принято оценивать средний показатель анизотропии

либо по трем направлениям $\alpha = 0-45^\circ-90^\circ$, либо по пяти $\alpha = 0-22,5^\circ-45^\circ-67,5^\circ-90$ [4].

В результате осреднения материал при $0,5 > \mu_{\text{ср}} > 0,5$ можно считать трансверсально-изотропным, т. е. свойства в плоскости листа по всем направлениям являются как бы одинаковыми, но отличаются от свойств в направлении толщины.

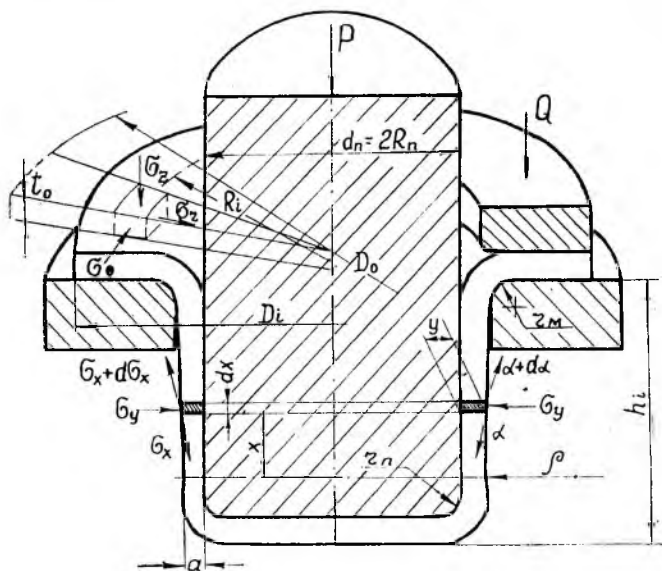


Рис. 1. Принципиальная схема вытяжки цилиндрической детали

При $\mu_{\text{ср}} = 0,5$ имеем случай изотропного материала.

Для анализа влияния анизотропии на предельный коэффициент вытяжки воспользуемся известным положением о том, что максимальное осевое усилие, возникающее при свертке фланца P'_{max} , не превышает усилия, вызывающего разрыв в наиболее опасном месте вытянутого участка изделия P''_{max} . При предельном коэффициенте вытяжки $m_{\text{пред}} = \frac{D_{\text{изд}}}{D_0}$ имеем равенство $P'_{\text{max}} = P''_{\text{max}}$. Наиболее опасным местом при вытяжке является участок перехода стенки цилиндра в радиус данного закругления (рис. 1). Примем в этом месте схему плоской деформации $\epsilon_2 = 0$ (отсутствует тангенциальная деформация).

Для нахождения эффективного растягивающего напряжения в наиболее опасном месте (шейке) воспользуемся методом совместного решения уравнений равновесия и условия пластичности при определенных граничных условиях. Используя основные положения работы [3], условие пластичности трансверсально-изотропного

материала в случае плоской деформации, можно записать следующее:

$$\sigma_3 - \sigma_1 = \frac{\sigma_{i1}}{\sqrt{1 - \mu_{cp}^2}}, \quad (2)$$

где σ_1, σ_3 — главные напряжения, возникающие в шейке.

σ_{i1} — интенсивность напряжений в направлении «1».

Уравнение равновесия выделенного элемента (рис. 1) при граничных условиях

$$\left(\frac{dy}{dx}, y = a, d\sigma_x = 0, \frac{d^2y}{dx^2} = \frac{1}{\rho}, \sigma_y = \sigma_3, \sigma_x = \sigma_1 = q_0 \right)$$

имеет вид:

$$\sigma_3 = -\sigma_1 \frac{(2R_n + a)a}{2\rho \cdot 2(R_n + a)}, \quad (3)$$

где R_n — радиус пуансона;

a — толщина изделия в шейке;

ρ — радиус кривизны в шейке.

Обычно в реальных процессах вытяжки отношение $\frac{2R_n}{t_0}$, а следовательно, и $\frac{2R_n}{a}$ — весьма велико (более 20), поэтому можно принять, что величина $\frac{2R_n + a}{2(R_n + a)} \approx 1$.

Выражение (3) в этом случае составляет:

$$\sigma_3 = -\sigma_1 \frac{a}{2\rho}. \quad (4)$$

Решая совместно уравнения (2) и (4), получим:

$$\sigma_1 = q_0 = \frac{\sigma_{i1}}{\sqrt{1 - \mu_{cp}^2} \left(1 + \frac{a}{2\rho}\right)}. \quad (5)$$

Максимальное усилие P''_{max} ; соответствующее моменту потери устойчивости и началу разрушения, будет составлять:

$$P''_{max} = \frac{\sigma_b F_0}{\sqrt{1 - \mu_{cp}^2} \left(1 + \frac{a}{2\rho}\right)}. \quad (6)$$

Толщина стенки в шейке a пренебрежимо мала по отношению к радиусу профиля шейки ρ . Поэтому величина $1 + \frac{a}{2\rho}$ близка к единице и

$$P''_{max} = \frac{\sigma_b F_0}{\sqrt{1 - \mu_{cp}^2}}, \quad (7)$$

где σ_b — временное сопротивление разрыву;

F_0 — первоначальная площадь сечения изделия.

В случае изотропного материала $\mu_{\text{ср}} = 0,5$ имеем известное соотношение:

$$P'_{\text{max}} = 1,15\sigma_v F_0. \quad (8)$$

Максимальное усилие P'_{max} можно определить по формуле:

$$P'_{\text{max}} = p_1 \cdot F_0,$$

а p_1 — максимальное удельное давление при свертке фланца — находится из выражения

$$p_1 = (\sigma_r + \sigma_{\text{тр}})(1 + 1,6f) + \sigma_u,$$

где σ_r — радиальные, растягивающие напряжения, непосредственно связанные с сопротивлением металла деформированию;

$\sigma_{\text{тр}}$ — удельное сопротивление трения от силы прижима Q ;

f — коэффициент трения;

σ_u — удельное сопротивление от изгиба на входной кромке матрицы.

На основании анализа, проведенного Л. А. Шофманом [1], экстремальные значения σ_r могут быть определены из выражения:

$$\sigma_r = \varphi_1 \left(\frac{1}{m_{\text{пред}}} - \varphi_1' \right) \sigma_v \alpha',$$

где σ_v , φ_1 , φ_1' — константы деформируемого металла;

$\alpha' = \frac{\beta_{\text{ср}}}{1,1}$ — коэффициент, учитывающий влияние анизотропии.

$$\beta_{\text{ср}} = \sqrt{\frac{2}{1 - \mu_{\text{ср}}} \cdot \ln \frac{\sqrt{2} + \sqrt{1 - \mu_{\text{ср}}}}{\sqrt{1 + \mu_{\text{ср}}}}}. \quad (9)$$

Значение $\sigma_{\text{тр}}$ может быть выражено через величину радиальных растягивающих напряжений, если принять положение И. А. Норичина о том, что радиальное усилие прижима равно $\approx 0,25$ от усилия вытяжки [2]. В этом случае величина P'_{max} составляет:

$$P'_{\text{max}} = \sigma_v F_0 \left[\varphi_1 \left(\frac{1}{m_{\text{пред}}} - \varphi_1' \right) \alpha' \eta + \frac{t_0}{2r_m + t_0} \right], \quad (10)$$

где η — коэффициент, учитывающий влияние трения на прижиме и радиусе матрицы.

$$\eta = \frac{2(1 + 1,6f)}{2 - f(1 + 1,6f)}; \quad (11)$$

r_m — радиус закругления матрицы;

t_0 — толщина заготовки.

Приравнявая выражение (10) и (6) и решая полученное уравнение относительно $K_{\text{пред}}$ имеем:

$$K_{\text{пред}} = \frac{1}{m_{\text{пред}}} \left(\frac{1}{\sqrt{1 - \mu_{\text{ср}}^2}} - \frac{t_0}{2r_m + t_0} \right) \frac{1}{\varphi_1' \alpha_2 \eta} - \varphi_1'. \quad (12)$$

На графике (рис. 2) приведены зависимости величины предельной вытяжки $K_{\text{пред}}$ от степени анизотропии и коэффициента трения для материалов с равномерным сужением $\Psi_p \approx 15 \div 25\%$.

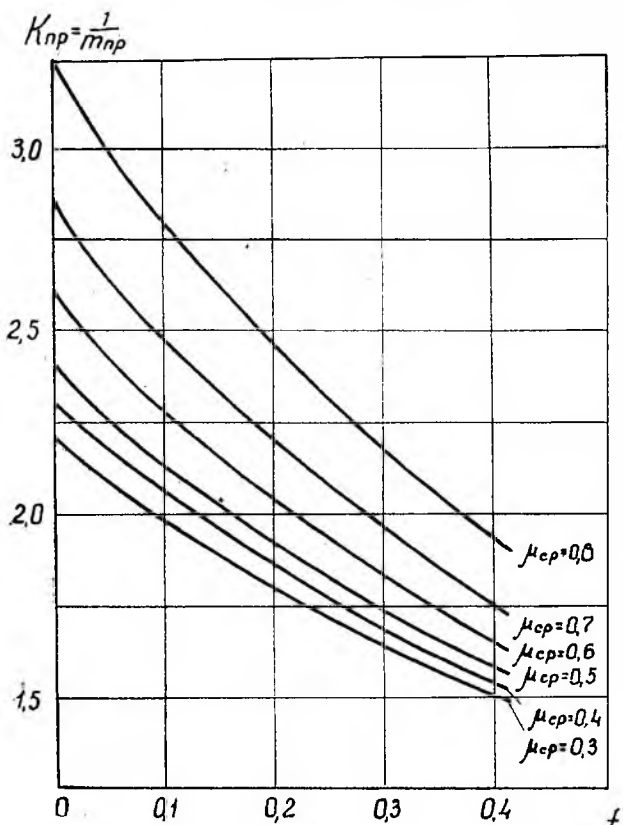


Рис. 2. Зависимость величины предельной вытяжки от анизотропии и коэффициента трения

Из графика видно, что материалы, имеющие $\mu_{\text{ср}} > 0,5$, обладают большей способностью к вытяжке, чем материалы с $\mu_{\text{ср}} < 0,5$. Однако положительное влияние анизотропии может быть сведено на нет трением, возникающим при вытяжке. Отметим так же, что уменьшение трения особенно эффективно для материалов с высокими значениями $\mu_{\text{ср}}$. Этим можно объяснить поведение некоторых листовых материалов при операциях глубокой вытяжки. Например, у титановых сплавов с $\mu_{\text{ср}} \approx 0,8$ при смазке полиэтиленом $K_{\text{пред}} = 3,0$ [5]. В производственных условиях, где отмечается даже налипание металла на матрицу (при очень больших значениях коэффициента трения) величина $K_{\text{пред}} \approx 1,8 \div 2,0$ [6].

Для подтверждения теоретических зависимостей авторы исполь-

зовались также результатами экспериментов [4], [5] по определению предельной вытяжки ряда листовых материалов с различной степенью анизотропии (рис. 3). На графике видно довольно точное совпадение теоретических зависимостей и экспериментальных данных.

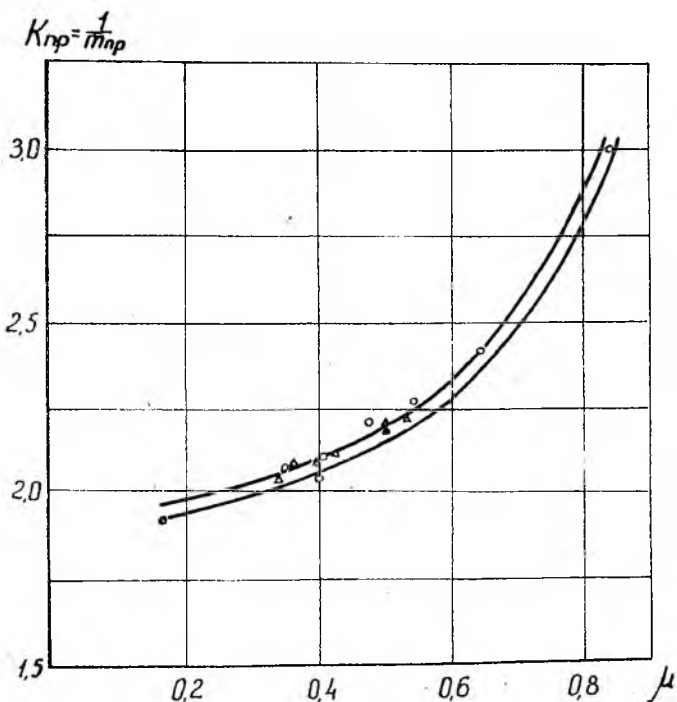


Рис. 3. Сопоставление теоретической зависимости $K_{пред}$ от μ (сплошные линии) с результатами экспериментов при $\dot{\epsilon} = 0,08 \div 0,10$

В заключение отметим, что полученная зависимость $K_{пред}$ от величины анизотропии, трения, свойств материала позволяет более правильно анализировать и проектировать техпроцессы глубокой вытяжки.

ЛИТЕРАТУРА

1. Л. А. Шофман. Теория и расчеты процессов холодной штамповки. Машиностроение, 1964.
2. И. А. Норицын. Исследование глубокой вытяжки листового металла на первой и последующих операциях. Труды Московского вечернего машиностроительного института. Выпуск II, изд-во «Советская наука», 1955.
3. И. И. Калужский, Ю. М. Арышенский, В. В. Уваров. Некоторые вопросы пластичности анизотропных сред. Тезисы докладов научно-тех-

нической конференции, Куйбышевский авиационный институт, 1967.

4. Wilson D. V., Butler R. D. The role of cup-drawing tests in measuring drawability. j. Inst. Metals, № 12, 1962.

5. Wilson D. V. Plastic anisotropy in sheel metals. j Inst. Metals. № 3 1966.

6. Л. А. Никольский. Горячая штамповка заготовок из титановых сплавов. Машиностроение, 1964.
